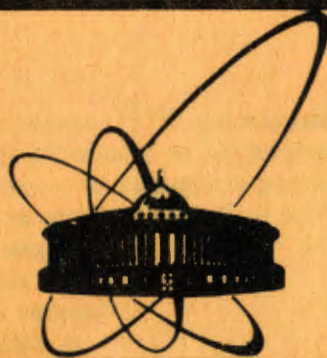


86-80



СООБЩЕНИЯ
ОБЪЕДИНЕННОГО
ИНСТИТУТА
ЯДЕРНЫХ
ИССЛЕДОВАНИЙ
ДУБНА

P11-86-80 *E+*

Э.А.Айрян*, Е.П.Жидков, Р.В.Полякова,
Б.Н.Хоромский, И.А.Шлаев, И.П.Юдин,
О.И.Юлдашев

ЧИСЛЕННОЕ МОДЕЛИРОВАНИЕ
НА ПОСЛЕДОВАТЕЛЬНОСТИ СЕТОК
ДВУМЕРНЫХ ПОЛЕЙ МАГНИТОВ
СИНХРОТРОНА СПИН

* Ереванский физический институт

1986

В работах /I-4/ рассматривались вопросы получения оптимальной по ряду характеристик конфигурации сверхпроводящих (СП) магнитов - СП диполя и СП квадруполя регулярного периода СП синхротрона СИИИ /5,6/ на энергию 1,5 ГэВ по протонам, собираемого в Лаборатории высоких энергий ОИЯИ. В данной работе используются численные алгоритмы расчетов на последовательности сеток для исследования с высокой точностью нелинейных эффектов - зависимости распределения поля от тока в СП обмотке с учетом насыщения железного сердечника. Расчеты проводились с помощью комплекса программы GRIDS ^М, реализующего указанное алгоритмы для решения двумерных задач магнитостатики в магнитах прямоугольной конфигурации. Комплекс фортран-программ GRIDS реализован на ЭВМ СДО-6500, БЭСМ-6, ЕС-1060 и ЕС-1061 ОИЯИ. Проведено сравнение с результатами /1-4/, полученными с помощью пакета программы POISSON /8,9/, интенсивно используемого во многих лабораториях мира для проектирования магнитов.

I. Постановка краевой задачи

Известно /10,11/, что распределение однокомпонентного векторного потенциала $\mathcal{U}(x, y)$ стационарного двумерного магнитного поля задается уравнением

$$\frac{\partial}{\partial x} \left(\nu \frac{\partial \mathcal{U}}{\partial x} \right) + \frac{\partial}{\partial y} \left(\nu \frac{\partial \mathcal{U}}{\partial y} \right) = -j(x, y) , \quad (I)$$

где x, y принадлежат плоскости XOY ; j - плотность тока; $\nu = \frac{1}{\mu}$, $\mu = \mu(|\text{grad } \mathcal{U}|)$ - величина магнитной проницаемости. Уравнение (I) обычно получают из системы уравнений Максвелла $\text{rot } \vec{H} = j$, $\text{div } \vec{B} = 0$ и $\vec{B} = \mu \cdot \vec{H}$, если ввести векторный потенциал \vec{A} соотношением $\vec{B} = \text{rot } \vec{A}$ и предположить, что

$$A_x = \mathcal{U}(x, y) , \quad A_x = A_y = 0$$

$$j_z = j(x, y) , \quad j_x = j_y = 0 .$$

Здесь \vec{H} - напряженность, а \vec{B} - индукция магнитного поля. Предлагается, что токи замкнуты или (для двумерного случая) сумма токов равна нулю: $\int_{K_2} j \cdot dx \cdot dy = 0$.

Для рассматриваемых ниже синхротронных магнитов прямоугольной конфигурации область решения уравнения (I) разбивается (см. рис. I) на внешнюю Ω_e и внутреннюю Ω_i , кото-

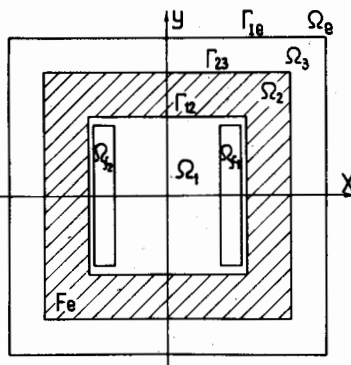


Рис. I. Расчетная область магнитостатической задачи.

рая, в свою очередь, разбивается на Ω_1 - область, ограниченную железным сердечником, внутри которой расположаются области с токами: Ω_{f_1} , Ω_{f_2} и т.д., где $\mu = 1$; Ω_2 - область, занимаемую железным сердечником, $\mu = \mu(B)$; Ω_3 - область вне железного сердечника, $\mu = 1$. Нелинейная функция μ задана в виде [3] табличной зависимости $\mu = \mu(B)$.

На границе раздела двух областей выполнены условия сопряжения. Например, для Ω_1 и Ω_2 на границе Γ_{12} :

$$\mathcal{U}_1(\xi) = \mathcal{U}_2(\xi), \quad \frac{\partial \mathcal{U}_1(\xi)}{\partial n} = \frac{1}{\mu} \frac{\partial \mathcal{U}_2(\xi)}{\partial n}, \quad \xi \in \Gamma_{12}. \quad (2)$$

Таким образом, дополнив уравнение (I) условиями сопряжения потенциала на границе разнородных сред и условием

$$\mathcal{U}(\infty) = 0, \quad (3)$$

получим краевую задачу для определения потенциала. Из соотношений $|\vec{B}| = i \rho \omega \vec{A} | = i \mu \text{ grad } \mathcal{U} | = \sqrt{\left(\frac{\partial \mathcal{U}}{\partial x}\right)^2 + \left(\frac{\partial \mathcal{U}}{\partial y}\right)^2}$ и $\vec{J} \cdot \vec{B} = H$ можно рассчитать распределение магнитного поля. Отметим, что при наличии осей симметрии в расчетной области задачу целесообразно решать в соответствующей подобласти, ставя на линиях симметрии соответствующие условия. Так, для рассматриваемых в данной работе дипольного (рис.5) и квадрупольного (типа линз Пановского) (рис.8) магнитов краевая задача решалась в первой четверти плоскости (см. рис.3 и рис.4). Для диполя условия симметрии требуют на оси Y $\mathcal{U}(0, y) = 0$ и $\frac{\partial \mathcal{U}(0, y)}{\partial n} = 0$ на оси X . Для квадруполя эти условия: $\frac{\partial \mathcal{U}(0, y)}{\partial n} = 0$ на оси Y и $\frac{\partial \mathcal{U}(x, 0)}{\partial n} = 0$ на оси X .

Обычно [3, 4, 8, 9] условие (3) заменяется условием на некоторой вспомогательной границе Γ_{te}

$$\mathcal{U}(\xi) = 0, \quad \xi \in \Gamma_{te}. \quad (4)$$

В настоящей работе представлены результаты расчетов, полученных как с использованием условия типа (4), так и на основе методики, предназначенной для точного учета условия (3) при помощи ГИУ.

2. Метод решения

Пусть область Ω_I содержится в прямоугольнике Π , заключенном внутри границы Γ_I . Уравнение (I) заменяется задачей отыскания трех функций V_1, V_2, \mathcal{U}_2 , удовлетворяющих системе уравнений

$$\operatorname{div}(\nu(|\operatorname{grad} \mathcal{U}_2|) \cdot \operatorname{grad} \mathcal{U}_2) = f_2(\xi), \quad \xi \in \Omega_I$$

$$\Delta V_1 = f_1(\xi), \quad \xi \in \Pi \setminus \Omega_I$$

$$V_1(\xi) = \mathcal{U}_2(\xi), \quad \nu(|\operatorname{grad} \mathcal{U}_2|) \cdot \frac{\partial \mathcal{U}_2}{\partial n} = \frac{\partial V_1}{\partial n}, \quad \xi \in \Gamma_{23} \quad (5)$$

$$\mathcal{U}_1(\xi) = V_2(\xi), \quad \frac{\partial V_2}{\partial n} = \frac{\partial \mathcal{U}_2}{\partial n}, \quad \xi \in \Gamma_1$$

$$(E+K) \cdot V_2 - L \cdot \frac{\partial V_2}{\partial n} = \Phi_1(\xi), \quad \xi \in \Gamma_1, \quad \Gamma_1 \cap \Gamma_{te} = \emptyset.$$

Здесь интегральные операторы K и L определены на контуре Γ_I и заданы соотношениями

$$K \mathbf{Z} = \int_{\Gamma_I} K(t, s) \cdot \mathbf{Z}(s) ds, \quad L \mathbf{Z} = \int_{\Gamma_I} L(t, s) \cdot \mathbf{Z}(s) ds, \quad t \in \Gamma_I,$$

$$\mathbf{Z}(t, s) = \frac{1}{d(t)} \ln Z^{-1}(t, s), \quad K(t, s) = \frac{1}{d(t)} \frac{\partial}{\partial n_s} \ln Z^{-1}(t, s);$$

$Z(t, s)$ - расстояние между точками t и s , $d(t)$ - угол между отрезками границы, выходящими из точки t , $d(\xi) = 2\pi$, $\xi \in \Pi \setminus \Omega_I$.

Если же пересечение $\Gamma_I \cap \Gamma_2 = \Gamma_0$ не пусто, то в системе (5) условие $\frac{\partial V_1}{\partial n} = \frac{\partial V_2}{\partial n}, \quad \xi \in \Gamma_0$ заменяется следующими соотношениями:

$$\begin{cases} \nu(|\operatorname{grad} \mathcal{U}_2|) \frac{\partial \mathcal{U}_2}{\partial n} = \frac{\partial V_2}{\partial n} : & \xi \in \Gamma_0 \\ \frac{\partial V_1}{\partial n} = \frac{\partial V_2}{\partial n}, & \xi \in \Gamma_1 \setminus \Gamma_0, \end{cases} \quad (6)$$

вытекающими из системы (5). Обозначим

$$\mathcal{U}(\xi) = \begin{cases} \mathcal{U}_2(\xi), & \xi \in \Omega_I \\ V_1(\xi), & \xi \in \Pi \setminus \Omega_I \end{cases}, \quad f(\xi) = \begin{cases} f_2(\xi), & \xi \in \Omega_I \\ f_1(\xi), & \xi \in \Pi \setminus \Omega_I \end{cases}.$$

Итерационный процесс, используемый в [7] для решения (5), имеет вид (задано $\mathcal{U}^k(\xi), \xi \in \Gamma_I$, вычисляем $\mathcal{U}^{k+1}(\xi), \xi \in \Gamma_I$):

$$G \mathcal{U} = f(\xi), \quad \xi \in \Pi, \quad \mathcal{U}(\xi) = \mathcal{U}^k(\xi), \quad \xi \in \Gamma_I \quad (7a)$$

$$V^{k+1} = \frac{\partial \mathcal{U}}{\partial n}, \quad \xi \in \Gamma_I \quad (7b)$$

$$(E+K) \mathcal{U}^{k+1/2} - L(\nu(|\operatorname{grad} \mathcal{U}|) \cdot V^{k+1}) = \Phi_1(\xi), \quad \xi \in \Gamma_I \quad (7c)$$

$$\mathcal{U}^{k+1} = (1-\gamma) \mathcal{U}^k + \gamma \cdot \mathcal{U}^{k+1/2}, \quad 0 < \gamma < 1 \quad (7d)$$

Здесь дифференциальный оператор G определяется в области Π , согласно (5).

Имеется возможность на первом шаге процесса (7) ставить смешанное краевое условие

$$\frac{\partial \mathcal{U}}{\partial n} + d \cdot \mathcal{U} = \beta, \quad \xi \in \Gamma_I, \quad (8)$$

аналогично /12/. В результате необходимо, вообще говоря, многократно решать краевую задачу (7а) и, может быть, граничное интегральное уравнение (ГИУ) (7в). В ряде задач достаточно ограничиться лишь однократным решением задачи (7в). Некоторые вопросы, связанные со сходимостью процесса (7), изложены в работах /7,13/.

3. Дискретизация задачи (5)

Вопросы дискретизации граничного интегрального уравнения (ГИУ) (7в) изложены, например, в работе /14/. Для разностной аппроксимации краевой задачи построим в расчетной области неравномерную сетку с прямоугольными ячейками

$$\Omega = \{(x_i, y_j); x_{i+1} = x_i + h_{i+1}^x, y_{j+1} = y_j + h_{j+1}^y, i=1, 2, \dots, M, j=1, 2, \dots, N\}.$$

Предполагается, что границы расчетной области и внутренние границы раздела сред с различными характеристиками являются узловыми линиями. Искомая сеточная функция U_{ij} определена в узлах сетки Ω . На рис.2 изображена ячейка сетки, окружающая внутренний узел со значениями

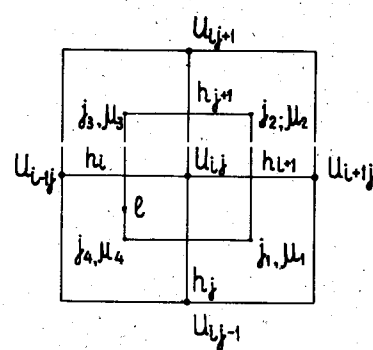


Рис.2. Ячейка (пятиточечная схема) сетки, окружающая внутренний узел со значением векторного потенциала U_{ij} .

$$\left(\frac{h_i}{\mu_1} + \frac{h_{i+1}}{\mu_2} \right) \frac{U_{ij} - U_{i,j-1}}{h_i} + \left(\frac{h_i}{\mu_3} + \frac{h_{i+1}}{\mu_4} \right) \frac{U_{ij} - U_{i+1,j}}{h_{i+1}} + \left(\frac{h_{j+1}}{\mu_1} + \frac{h_j}{\mu_2} \right) \frac{U_{ij} - U_{i,j+1}}{h_j} - \frac{1}{2} \cdot F_{ij} \equiv \Phi U_{ij} = 0, \quad (10)$$

$$\text{где } F_{ij} = j_1 \cdot h_{i+1} \cdot h_j + j_2 \cdot h_{i+1} \cdot h_{j+1} + j_3 \cdot h_i \cdot h_{j+1} + j_4 \cdot h_i \cdot h_j; \quad h_i^x \equiv h_i, \quad h_j^y \equiv h_j.$$

Значение магнитной проницаемости $\mu = \gamma^{-1}$ в каждой элементарной ячейке вычисляется через значения векторного потенциала в вершинах ячейки (см. рис. 2). Например, значение μ_1 можно вычислить по формуле

$$\mu_1 = \mu \left(\frac{1}{2} \operatorname{grad} U_1 \right) = \mu \left[\frac{(U_{i+1,j} + U_{i,j+1} - U_{ij} - U_{i-1,j})^2 + (U_{i+1,j} + U_{ij} - U_{i+1,j+1} - U_{ij-1})^2}{2h_{i+1}} \right]^{1/2}.$$

Для решения системы разностных уравнений (10) применяем двухступенчатый итерационный процесс, когда циклы последовательной верхней релаксации при расчете потенциала чередуются с нижней релаксацией для магнитной проницаемости μ .

$$U_{ij}^{k+1} = (d_1 U_{i,j-1}^k + d_2 U_{i+1,j}^k + d_3 U_{i-1,j}^k + d_4 U_{i+1,j+1}^k + \frac{1}{2} F_{ij}) / (d_1 + d_2 + d_3 + d_4)$$

$$U_{ij}^{k+1} = (1 - w_k) U_{ij}^k + w_k \cdot U_{ij}^{k+1/2}, \quad w_k \geq 1,$$

$$V_j^{k+1} = (1 - \gamma_k) V_j^k + \gamma_k \cdot V_k^{k+1/2}; \quad V_j = \frac{1}{\mu_j}, \quad j=1, 2, 3, 4, \quad \gamma_k \leq 1 \quad (II)$$

$$d_1 = \frac{1}{h_{i+1}} \left(\frac{h_{j+1}}{\mu_1} + \frac{h_j}{\mu_2} \right); \quad d_2 = \frac{1}{h_{i+1}} \left(\frac{h_i}{\mu_3} + \frac{h_{j+1}}{\mu_4} \right);$$

$$d_3 = \frac{1}{h_i} \left(\frac{h_j}{\mu_1} + \frac{h_{j+1}}{\mu_2} \right); \quad d_4 = \frac{1}{h_j} \left(\frac{h_i}{\mu_3} + \frac{h_{i+1}}{\mu_4} \right).$$

Оптимальное значение параметра верхней релаксации w_k выбирается из интервала $(0, 2)$ по схеме, рассмотренной, например, в работах /16,17/. Как правило, в каждой среде выбирается свой параметр релаксации. Проделав некоторое количество итераций, пересчитываем значения магнитной проницаемости с последующей нижней релаксацией. Значение параметра нижней релаксации выбирается из интервала $(0, 1)$ в процессе численных расчетов /18/. Итерации (II) прекращаются при выполнении условия

$$\sum_{i,j} |U_{ij}^k - U_{ij}^{k-1}| / \sum_{i,j} |U_{ij}^k| < \varepsilon. \quad (12)$$

4. Решение на последовательности сеток

При ускорении сходимости итерационных процессов численного решения краевых задач для дифференциальных уравнений и ГИУ, одной из плодотворных идей оказалось применение вспомогательных сеток и рассмотрение на них систем конечно-разностных уравнений, соответствующих различным дискретизациям исходной задачи (см. например /19/). В настоящей работе использован подход, при котором решение задачи сначала ищется на нескольких вспомогательных сетках, где каждый раз с помощью интерполяции определяется начальное приближение в узлах более мелкой

сетки. Итерационный процесс заканчивается на последней сетке, где число итераций типа (II) уже невелико.

Опишем преимущества данного подхода на примере расчета поля дипольного магнита (см. рис. 5). Расчет проводился на двух вспомогательных сеточных областях: сначала на сетке из 21×21 узлов, затем на сетке из 41×41 узлов. Основная сетка была 81×81 узлов. На рис. 3 приведена логическая диаграмма I/4 диполя – расчетная сетка из 21×21 узлов. На рис. 4 показана эта же расчетная сетка, но в реальном масштабе. Как видно из рисунка, шаг этой сетки существенно неравномерный. При переходе на следующую более мелкую сетку (41×41) и далее шаг сетки уменьшался в два раза.

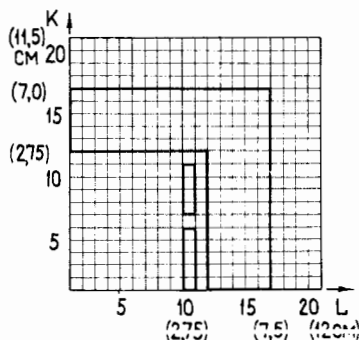


Рис.3. Расчетная сетка (логическая диаграмма) I/4 части магнита.

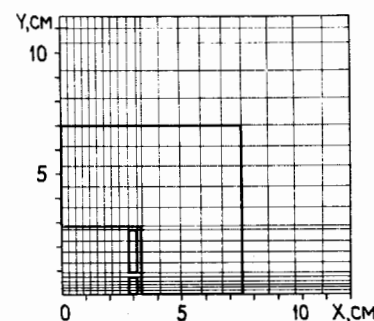


Рис. 4. Расчетная сетка I/4 части магнита в реальном масштабе.

При точности расчета $\epsilon = 10^{-5}$ на сетке 81×81 узлов при обычной организации расчетов в методе верхней релаксации требуется 360 итераций и 768с времени центрального процессора СВС-6500. При многосеточном алгоритме, т.е. расчете по последовательности сеток $(21 \times 21) \rightarrow (41 \times 41) \rightarrow (81 \times 81)$ на последней сетке затрачивается 38 итераций и 360с времени процессора. Эти величины характерны для малых токов в обмотке, т.е. для больших μ в области с железом. Подробнее см. таблицу в работе ⁷. Зависимость числа итераций от правой части уравнения (I) (показана зависимость от величины тока в одном витке СП обмотки) при многосеточной организации расчетов приведена в таблице I. Сравнения показывают, что при выполнении расчетов при одинаковых количествах расчетных точек по программе GRIDS ⁷ нужно в 5 раз, а для достижения одинаковой точности более чем в 10 раз меньше времени ЭВМ, чем по программе POISSON ⁹.

Таблица I. Зависимость числа итераций от правой части уравнения (I) при многосеточной организации расчетов. N – число узлов сетки. I – ток в одном витке СП обмотки диполя

	N , I , A	1000	1100	1200	1300	1400	1500	1600	1700	1800	1900
$\epsilon = 10^{-5}$	21×21	237	215	207	211	167	182	178	169	162	156
	41×41	56	50	70	43	41	46	50	52	45	56
	81×81	21	40	33	25	35	223	38	39	29	61
$\epsilon = 10^{-6}$	21×21		306	257	254	223	214	219	211	202	190
	41×41		209	199	130	96	103	79	130	87	129
	81×81		298	186	117	148	427	119	123	126	144

5. Расчет распределения магнитного поля дипольного СП магнита синхротрона СПИН

В данной работе используем алгоритм расчетов на последовательности сеток для исследования с высокой точностью нелинейных эффектов – зависимости распределения поля от величины тока в СП обмотке магнита с учетом насыщения железного сердечника. На рис. 5 показана конфигурация поперечного сечения сверхпроводящего дипольного магнита регулярного периода сверхпроводящего синхротрона СПИН Лаборатории высоких энергий СИИМ. Железный экран магнитов синхротрона СПИН изготовлен из стали $Fe + 3,25\% Si$. Зависимость магнитной проницаемости μ от величины магнитной индукции B приведена на рис. 2 и в табл. I работы ³.

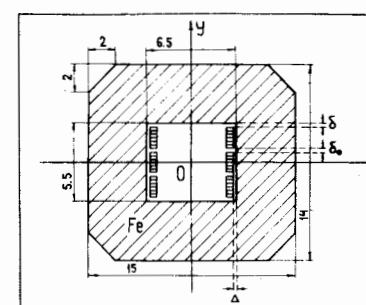


Рис. 5. Конфигурация СП диполя. Размеры даны в (см).

Вследствие симметрии данной конфигурации магнита (с осями симметрии $X = 0$ и $Y = 0$) расчеты проводились на одной четверти исходной конфигурации. На осях $X = 0$ и $Y = 0$ ставятся однородные условия Дирихле ($U = 0$) и Неймана ($\frac{\partial U}{\partial n} = 0$) соответственно. Вычисление потенциала проводилось по последовательности из трех неравномерных сеток ω_1 , ω_2 , ω_3 . На рис. 3 и 4 изображены расчетная сетка ω_1 . Сетки ω_2 и ω_3 получаются путем деления пополам всех ячеек ω_1 и ω_2 соответственно. Решаем систему (10) с

помощью (II). Критерием окончания итерационного процесса является выполнение условия (I2), где K - номер итераций. В наших расчетах ε бралось 10^{-6} .

Многосеточная организация расчетов помимо ускорения итерационного процесса (II) позволяет контролировать точность расчетов с помощью анализа величин $(U_1 - U_2)/(U_2 - U_3)$, где U_1, U_2, U_3 - найденные значения потенциала на сетках w_1, w_2, w_3 . После нахождения векторного потенциала в узлах сетки w имеется возможность определения его значений в произвольно заданных точках внутри апертуры. Пересчет в точку (x_0, y_0) производится с помощью формулы Грина

$$U(x_0, y_0) = \int_{\Gamma_2} K(x_0, y_0, x, y) \hat{U}(x, y) dS - \int_{\Gamma_2} L(x_0, y_0, x, y) \frac{\partial \hat{U}}{\partial n} dS, \quad (13)$$

где Γ_2 - прямоугольник, стороны которого проходят через узловые линии сетки w , K, L - определены выше, а \hat{U} и $\frac{\partial \hat{U}}{\partial n}$ - кусочно линейные восполнения сеточных функций U_{ij} и $\frac{\partial U_{ij}}{\partial n}$ на сторонах сеточного контура Γ_2 .

Для исследования компонент магнитного поля используем его фурье-представление, которое для дипольного магнита имеет вид

$$H_\theta(r, \theta) = H_1 \cdot \left[1 + \sum_{n=3, 5, 7, \dots} C_n \cdot \left(\frac{r}{r_0} \right)^{n-1} \cos((n-1) \cdot \theta) \right], \quad (14)$$

где r и θ - полярные координаты, $H_1 \equiv B_1$ - величина среднего поля, $C_n = H_n / H_1$. Для вычисления гармоник C_n производим пересчет значений потенциала с сеточных линий на требуемый радиус $r_0 = 2,5$ см с помощью формулы (13) с шагом по переменной θ , равным 90° . Далее H_n вычисляется по формуле $H_n = \frac{n \cdot A_n}{r_0}$, где

$$A_n = \frac{1}{\pi} \int_0^{\pi} U(r, \theta) \cdot \cos n \theta \cdot d\theta. \quad (15)$$

Отметим, что такой алгоритм пересчета позволяет учесть гармонические свойства решений в большей части апертуры и сохранить необходимые свойства гладкости.

На рис. 6 и рис. 7 приведена полученная зависимость величин среднего поля B_T и относительных гармоник поля C_n от значений тока I в одном витке СП обмотки для интервала $I = 500 \div 2500$ А. Эти кривые показывают, что функция $B_T = B_T(I)$ становится нелинейной и величины $C_n = C_n(I)$ перестают быть константами при значениях величины тока в СП обмотке больше 1,5 кА. При токе до 1,5 кА поле имеет высокую степень однородности. В таблице 2 приведены результаты расчетов величин амплитуд гармоник СП диполя на трех сетках w_1, w_2, w_3 с размерностями 2Ix2I, 4Ix4I и 8Ix8I соответственно. Анализ данных результатов позволяет сделать вывод о том, как уточняются приближен-

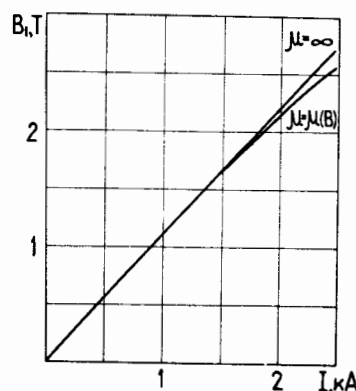


Рис. 6. Зависимость величины дипольной составляющей поля от тока в СП витке обмотки.

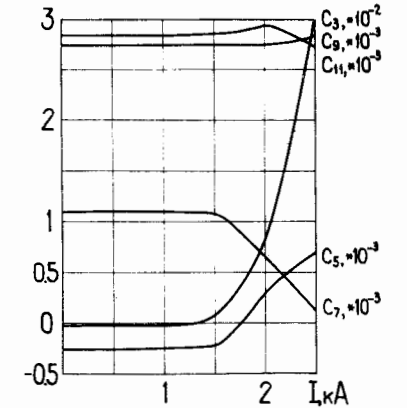


Рис. 7. Величины C_n на радиусе $r_0 = 2,5$ см в зависимости от тока в витке СП обмотки диполя.

Таблица 2. Величины B_T и C_n на радиусе $r_0 = 2,5$ см. Сравнение результатов, полученных с помощью GRIDOS на различных сетках: I - сетка из 2Ix2I узлов, II - сетка из 4Ix4I узлов, III - сетка из 8Ix8I узлов

T_A	Сетка	B_T, T	$C_3, \%$	$C_5, \%$	$C_7, \%$	$C_9, \%$	$C_{11}, \%$	$C_{13}, \%$
500	I	0,54826	-0,002	-0,001	0,186	0,378	0,357	0,189
	II	0,54826	-0,005	-0,024	0,119	0,267	0,298	0,191
	III	0,54825	-0,005	-0,026	0,110	0,271	0,284	0,185
1500	I	1,64297	0,067	-0,006	0,184	0,377	0,356	0,189
	II	1,64267	0,074	-0,020	0,115	0,288	0,298	0,191
	III	1,64263	0,073	-0,022	0,106	0,271	0,284	0,186
2500	I	2,58777	2,833	0,519	-0,007	0,097	0,873	-0,321
	II	2,59783	2,95559	-0,044	0,114	0,243	0,328	0,205
	III	2,59456	2,98087	0,071	0,010	0,281	0,269	0,249

ные решения при переходе к счету на более мелкой сетке при различных токах. В таблице 3 приведены результаты численных экспериментов по исследованию зависимости B_T и C_n от расстояния между сеточными линиями, с которых пересчитывается потенциал на радиус $r_0 = 2,5$ см, и токовыми обмотками. Заметим, что аналогичное исследование с помощью программы POISSON^{/9/} дало большой разброс величин B_T и C_n , вычисленных на разных радиусах r_0 , что, возможно, связано с ошибкой

мк интерполяции при пересчете значений потенциала. В таблице 4 приведено сравнение результатов расчетов, выполненных с помощью комплекса программ GRIDS, программы MIC 2⁷¹ и пакета программ POISSON.

Таблица 3. Величины B_I и C_n на радиусе $Z_0 = 2,5$ см, полученные с использованием потенциала с разных сеточных линий, удаленных на n шагов от токовой области

I,A	n	B_I,T	$C_3 \cdot 10^{-4}$	$C_5 \cdot 10^{-3}$	$C_7 \cdot 10^{-2}$	$C_9 \cdot 10^{-2}$	$C_{II} \cdot 10^{-2}$	$C_{III} \cdot 10^{-2}$
500	1	0,54826	-0,540	-0,256	0,II02	0,2710	0,2837	0,I854
	2	0,54825	-0,606	-0,257	0,III	0,272	0,285	0,I86
	3	0,54824	-0,625	-0,258	0,III	0,273	0,286	0,I87
	4	0,54824	-0,638	-0,259	0,III	0,273	0,286	0,I87
	5	0,54824	-0,648	-0,259	0,II2	0,274	0,287	0,I87
	6	0,54824	-0,657	-0,259	0,II2	0,275	0,287	0,I87
2500	1	0,25946	298,03	0,7II	0,0I0	0,28I	0,268	0,249
	2	0,25946	297,97	0,7I0	0,0II	0,282	0,270	0,250
	3	0,25946	297,96	0,7I0	0,0II	0,283	0,27I	0,250
	4	0,25946	297,96	0,7I0	0,0I2	0,284	0,27I	0,25I
	5	0,25946	297,96	0,7II	0,0I2	0,285	0,272	0,25I
	6	0,25946	297,96	0,7II	0,0I3	0,286	0,273	0,25I

Таблица 4. Величины B_I и C_n (%) (на радиусе $Z_0 = 2,5$ см) в зависимости от тока в одном витке СП обмотки. Сравнение результатов, полученных с помощью программ MIC 2⁷¹, POISSON и GRIDS (сетка 8Ix8I узлов)

I,A		B_I,T	$\frac{B_I}{I}, \frac{G}{A}$	$C_3,\%$	$C_5,\%$	$C_7,\%$	$C_9,\%$	$C_{II},\%$
500	MIC2	0,54797	I0,9594	-0,0I5	-0,026	0,II0	0,273	0,285
	POI	0,548I4	I0,9628	-0,000	-0,0I6	0,I35	0,265	0,079
	GRID	0,54824	I0,9648	-0,007	-0,026	0,II2	0,274	0,287
1000	POI	I,0963	I0,963	-0,003	-0,0I2	0,I34	0,266	0,078
	GRID	I,0965	I0,965	-0,007	-0,024	0,II2	0,275	0,287
1500	POI	I,64I2	I0,94I3	0,I02	0,007	0,I28	0,264	0,08I
	GRID	I,6426	I0,9507	0,072	-0,022	0,I08	0,275	0,288
2000	POI	2,I443	I0,72I5	I,I64	0,099	0,084	0,277	0,056
	GRID	2,I6I9	I0,8095	0,793	0,030	0,064	0,276	0,296
2500	POI	2,5796	I0,3I84	2,768	0,369	-0,0II	0,244	0,I25
	GRID	2,5945	I0,3780	2,9799	0,070	0,0I2	0,285	0,273

Во всех приведенных выше расчетах для нахождения векторного потенциала решалась краевая задача (I) с условием (4), что соответствует первому шагу итерационного процесса (7a) – (7b), т.е. однократному решению задачи (7a).

Для исследования влияния на потенциал и амплитуды гармоник поля точного краевого условия (3) ($U(\infty) = 0$ вместо $U_r = 0$) были проделаны несколько шагов итерационного процесса (7a) – (7b). В таблице 5 приведены величины B_I и C_n , полученные с учетом условия (3); в скобках приведены значения разностей $B_I^{\infty} - B_I$, $C_n^{\infty} - C_n$, где B_I^{∞} и C_n^{∞} получены при точном учете условий на "бесконечности". Аппроксимация краевой задачи во внешней области Ω_e проводилась с помощью ПИУ. Сравнение показывает, что для больших значений токов точный учет условия (3) дает заметное улучшение результатов. Отметим, что точный учет краевых условий на бесконечности является еще более существенным при расчете открытых систем.

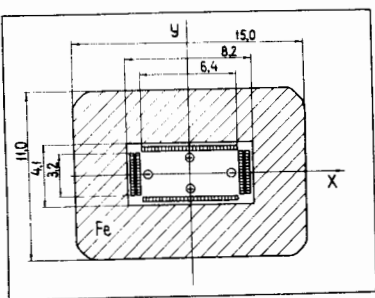
Таблица 5. Сравнение величин B_I и C_n на радиусе $Z_0 = 2,5$ см для двух способов учета краевого условия $U(\infty) = 0$

I,A	B_I,T	$C_3,\%$	$C_5,\%$	$C_7,\%$	$C_9,\%$	$C_{II},\%$
500	0,54826 (0,00001)	-0,0048 (0,0022)	-0,0235 (0,0025)	0,I200 (0,0080)	0,2872 (0,0132)	0,2979 (0,0109)
1000	I,09655 (0,0005)	-0,0058 (0,0012)	-0,0222 (0,0018)	0,II96 (0,0076)	0,2874 (0,0124)	0,2978 (0,0108)
2000	2,I6336 (0,00146)	0,7725 (-0,0205)	0,0I05 (-0,0195)	0,0806 (0,0166)	0,2900 (0,0140)	0,305I (0,009I)
3000	3,00I33 (0,0I045)	4,4I44 (0,09I7)	0,3626 (0,0245)	-0,II78 (-0,007I)	0,26I4 (0,0003)	0,3402 (-0,0008)

6. Расчет распределения магнитного поля квадрупольного СП магнита синхротрона СПИН

На рис. 8 показана конфигурация поперечного сечения СП квадруполя типа линзы Пановского. Исследуемый квадруполь является структурным элементом регулярного периода СП синхротрона СПИН. Симметричность квадруполя позволяет вычислять потенциал в одной четверти рассматриваемого магнита. На осях $X = 0$ и $Y = 0$ ставились однородные условия Неймана ($\frac{\partial U}{\partial n} = 0$). Расчеты проводились на последовательности сеток ω_1 , ω_2 , ω_3 с размерностями 2Ix2I, 4Ix4I и 8Ix8I соответственно. Организация вычислений была аналогичной приведенной выше для дипольного магнита.

Рис. 8. Конфигурация СП квадруполя.
Размеры даны в (см).



Компоненты магнитного поля выражались в полярных координатах с помощью Фурье-представления. Например, для компоненты H_y

$$H_y(r, \theta) = H_2 [\cos \theta + \sum_{n=4,6,8,\dots} C_n \cdot (r/r_0)^{n-1} \cdot \cos((n-1)\theta)]. \quad (16)$$

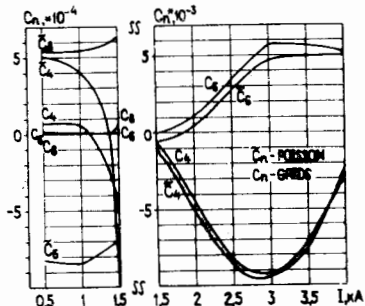
Здесь $H_2 = r_0 \cdot G$, G – градиент поля, $C_n = H_n / H_2$. Связь амплитуд гармоник магнитного поля H_n с

Фурье-представлением потенциала осуществлялась с помощью формулы

$$H_n = \frac{n \cdot A_n}{r_0}, \text{ где } A_n \text{ вычислялись по (15).}$$

В таблице 6 приведены величины градиента G , отношения G/I , величины поля H_2 на радиусе $r_0 = 1,5$ см и амплитуды высших гармоник поля C_n на том же радиусе $r_0 = 1,5$ см, полученные с помощью комплекса программ GRIDS и пакета программ POISSON. Эта же зависимость амплитуд высших гармоник поля от величины тока в одном СП витке обмотки при $I = 500 + 2500$ А показана на рис. 9.

Рис. 9. Величины C_n на радиусе $r_0 = 1,5$ см в зависимости от тока в витке СП обмотки квадруполя.



Проведение вычислений потенциала магнитного поля для магнита данной конфигурации усложняется по сравнению с расчетами дипольного магнита. Тем не менее точность вычислений с помощью GRIDS здесь на порядок выше по сравнению с POISSON.

Результаты расчетов, представленные в данной работе, получены в основном на ЭВМ СДС-6500, однако вычисления проводились и на других ЭВМ: БЭСМ-6, ЕС-1060 и ЕС-1061. Полученные результаты позволяют установить распределение магнитного поля дипольных и квадрупольных магнитов с повышенной точностью, что безусловно является важной информацией для управления работой ускорителя.

Таблица 6. Величины градиента поля G , отношения G/I , поля H_2 и амплитуд высших гармоник поля C_n на радиусе $r_0 = 1,5$ см. Результаты расчета СП квадруполя типа линзы Пановского получены с помощью I – GRIDS и II – POISSON

I, A	$G, \frac{\partial}{\partial r} / \text{см}$	$G/I, \frac{\partial}{\partial r} / (\text{см} \cdot \text{А})$	$H_2, \frac{G}{r}$	$C_4, 10^{-4}$	$C_6, 10^{-4}$	$C_8, 10^{-4}$	$C_{10}, 10^{-4}$	$C_{12}, 10^{-4}$	$C_{14}, 10^{-4}$
500	I 2681,65	5,3633	4022,47	0,6956	0,0879	-0,0175	-0,0104	0,0029	-0,0012
	II 2686,2	5,3724	4029,3	5,0356	-8,1838	5,3657	-5,7014	6,8117	-4,3443
1000	I 5363,33	5,3633	8044,99	0,6407	0,0777	-0,0202	-0,0035	-0,0014	0,0013
	II 5371,9	5,3719	8057,9	4,0812	-8,4009	5,3357	-5,6423	6,7012	-4,0469
1500	I 8036,15	5,3574	12054,22	-5,1147	0,8283	0,3864	-0,0876	0,0040	-0,0158
	II 8037,7	5,3580	12056,0	-10,146	-6,9626	6,2340	-5,7563	6,2024	-5,1980
2000	I 10618,08	5,3090	15927,12	-45,522	9,628	2,470	-0,6314	-0,0061	-0,0028
	II 10600,0	5,3000	15900,0	-52,631	4,1109	6,9012	-6,7069	5,6978	-13,6177
2500	I 13031,82	5,2127	19547,73	-83,296	34,71	-0,1192	-2,012	0,6806	-0,6648
	II 12998,7	5,1995	19498,0	-86,208	27,911	3,6046	-7,0613	7,9235	-33,108

ЛИТЕРАТУРА

1. Шелаев И.А., Юдин И.П. ОИЯИ, Р9-80-333, Дубна, 1980.
2. Шелаев И.А., Юдин И.П. ОИЯИ, Р9-80-334, Дубна, 1980.
3. Жидков Е.П., Полякова Р.В., Шелаев И.А., Юдин И.П. ОИЯИ, Р9-81-12, Дубна, 1981.
4. Жидков Е.П., Полякова Р.В., Шелаев И.А., Юдин И.П. ОИЯИ, Р9-82-384, Дубна, 1982.
5. Шелаев И.А., Юдин И.П. ОИЯИ, 9-12346, Дубна, 1979.
6. Shelaev I.A. et al. Proc. 12 Intern. Conf. on High-Energy Accelerators, Fermilab Aug. 11-16, 1983, Batavia, Illinois, 1983, p.416.
7. Айран Э.А. и др. ОИЯИ, II-84-802, Дубна, 1984.
8. POISSON Group Programs. User's Guide, CERN, 1975.
9. Ворожцов С.Б. и др. POISSON - система программ по расчету, анализу и оптимизации магнитостатических и электростатических полей. Б1-II-12070, ОИЯИ, Дубна, 1978.
10. Брехна Г. Сверхпроводящие магнитные системы. "Мир", М., 1976.
11. Дойников Н.И. Постановка задач численного анализа полей нелинейных магнитных систем (обзор). Препринт НИИЭФА ОБ-8, Ленинград, 1976.
12. Осмоловский В.Г., Ривкинд В.Я. О методе разделения областей для эллиптических уравнений с разрывными коэффициентами. ЖМ и МФ, 1991, т.21, № 1, с.35-39.
13. Айран Э.А. и др. ОИЯИ, РII-82-87I, Дубна, 1982.
14. Жидков Е.П., Хоромский Б.Н., Юлдашев О.И. ОИЯИ, II-82-659, Дубна, 1982.
15. Самарский А.А., Андреев В.Б. Разностные методы для эллиптических уравнений. М., "Наука", 1976.
16. Дойников Н.И., Симаков А.С. К оптимизации параметра верхней релаксации. Препринт НИИЭФА, Б-0273, Л., 1976.
17. Самарский А.А., Николаев Е.С. Методы решения сеточных уравнений. М., "Наука", 1978.
18. Ворожцов С.Б. и др. ОИЯИ, I9-5013, Дубна, 1970.
19. Ильин В.П., Свешников В.М. О разностных схемах на последовательности сеток.-"Численные методы механики сплошной среды." Изд. ВЦ СО АН СССР, Новосибирск, 1971, т.2, № 1, с.43-54.

Рукопись поступила в издательский отдел
25 февраля 1986 года.

НЕТ ЛИ ПРОБЕЛОВ В ВАШЕЙ БИБЛИОТЕКЕ?

Вы можете получить по почте перечисленные ниже книги,
если они не были заказаны ранее.

Д17-81-758	Труды II Международного симпозиума по избранным проблемам статистической механики. Дубна, 1981.	5 р. 40 к.
Р18-82-117	Труды IV совещания по использованию новых ядерно-физических методов для решения научно-технических и народнохозяйственных задач. Дубна, 1981.	3 р. 80 к.
Д2-82-568	Труды совещания по исследованиям в области релятивистской ядерной физики. Дубна, 1982.	1 р. 75 к.
Д9-82-664	Труды совещания по коллективным методам ускорения. Дубна, 1982.	3 р. 30 к.
Д3,4-82-704	Труды IV Международной школы по нейтронной физике. Дубна, 1982.	5 р. 00 к.
Д11-83-511	Труды совещания по системам и методам аналитических вычислений на ЭВМ и их применению в теоретической физике. Дубна, 1982.	2 р. 50 к.
Д7-83-644	Труды Международной школы-семинара по физике тяжелых ионов. Алушта, 1983.	6 р. 55 к.
Д2,13-83-689	Труды рабочего совещания по проблемам излучения и детектирования гравитационных волн. Дубна, 1983.	2 р. 00 к.
Д13-84-63	Труды XI Международного симпозиума по ядерной электронике. Братислава, Чехословакия, 1983.	4 р. 50 к.
Д2-84-366	Труды 7 Международного совещания по проблемам квантовой теории поля. Алушта, 1984.	4 р. 30 к.
Д1,2-84-599	Труды VII Международного семинара по проблемам физики высоких энергий. Дубна, 1984.	5 р. 50 к.
Д17-84-850	Труды Ш Международного симпозиума по избранным проблемам статистической механики. Дубна, 1984. /2 тома/	7 р. 75 к.
Д10,11-84-818	Труды V Международного совещания по проблемам математического моделирования, программированию и математическим методам решения физических задач. Дубна, 1983	3 р. 50 к.
	Труды IX Всесоюзного совещания по ускорителям заряженных частиц. Дубна, 1984 /2 тома/	13 р.50 к.
Д4-85-851	Труды Международной школы по структуре ядра, Алушта, 1985.	3 р. 75 к.

Заказы на упомянутые книги могут быть направлены по адресу:
101000 Москва, Главпочтamt, п/я 79
Издательский отдел Объединенного института ядерных исследований

ТЕМАТИЧЕСКИЕ КАТЕГОРИИ ПУБЛИКАЦИЙ
ОБЪЕДИНЕННОГО ИНСТИТУТА ЯДЕРНЫХ
ИССЛЕДОВАНИЙ

Индекс	Тематика
1.	Экспериментальная физика высоких энергий
2.	Теоретическая физика высоких энергий
3.	Экспериментальная нейтронная физика
4.	Теоретическая физика низких энергий
5.	Математика
6.	Ядерная спектроскопия и радиохимия
7.	Физика тяжелых ионов
8.	Криогеника
9.	Ускорители
10.	Автоматизация обработки экспериментальных данных
11.	Вычислительная математика и техника
12.	Химия
13.	Техника физического эксперимента
14.	Исследования твердых тел и жидкостей ядерными методами
15.	Экспериментальная физика ядерных реакций при низких энергиях
16.	Дозиметрия и физика защиты
17.	Теория конденсированного состояния
18.	Использование результатов и методов фундаментальных физических исследований в смежных областях науки и техники
19.	Биофизика

Айрян Э.А. и др.

P11-86-80

Численное моделирование на последовательности сеток двумерных полей магнитов синхротрона СПИН

Используются численные алгоритмы расчетов на последовательности сеток для исследований с высокой точностью нелинейных эффектов – зависимости распределения поля от тока в СП обмотке с учетом насыщения железного сердечника – в магнитах синхротрона СПИН. Расчеты проводились с помощью комплекса программ GRIDS, реализующего указанные алгоритмы для решения двумерных задач магнитостатики в магнитах прямоугольной конфигурации. Анализируются вопросы точности проведенных расчетов. Проведено сравнение с результатами, полученными с помощью пакета программ POISSON.

Работа выполнена в Лаборатории вычислительной техники и автоматизации ОИЯИ.

Сообщение Объединенного института ядерных исследований. Дубна 1986

Перевод Л.Н.Барабаш.

Ayrgjan E.A. et al.

P11-86-80

Numerical Simulation of Two-Dimensional Fields for the Synchrotron SPIN Magnets on a Sequence of Grids

Numerical algorithms of calculation on a sequence of grids are used for an investigation of nonlinear effects with a high accuracy, i.e. the dependence of a field distribution on current in an SC coil of the synchrotron SPIN magnets when an iron yoke is saturated. The calculation has been performed with the help of the GRIDS program which realizes there algorithms for solving two-dimensional magnetostatic problems in magnets of rectangular configuration. Questions of the accuracy of calculations are analysed. A comparison is made with the results obtained by the POISSON program.

The investigation has been performed at the Laboratory of Computing Techniques and Automation, JINR.

Communication of the Joint Institute for Nuclear Research. Dubna 1986